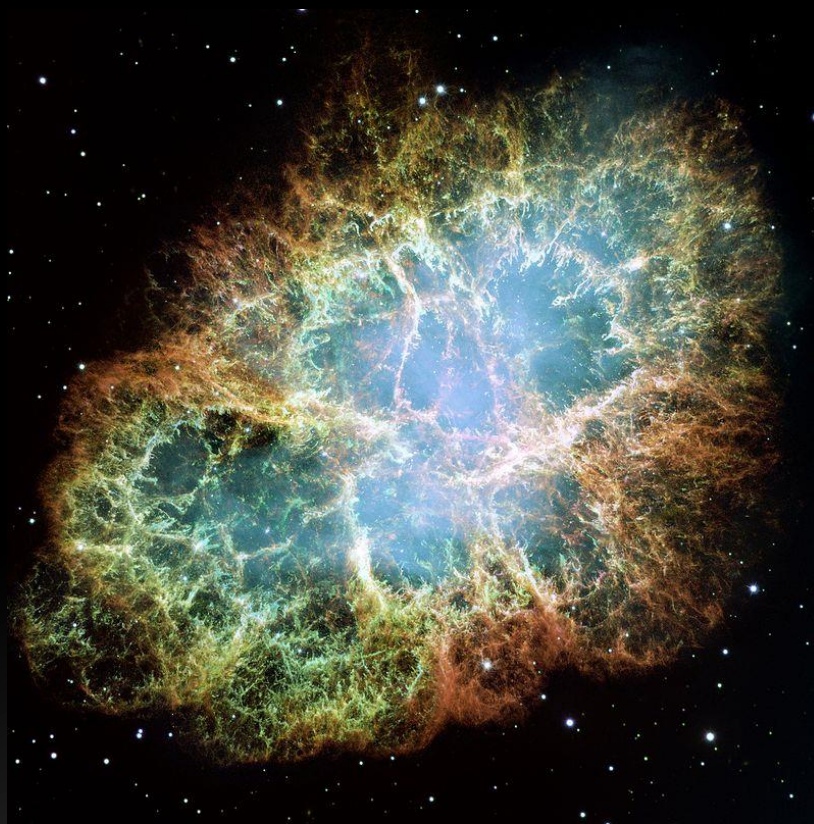


Maxime Rey

Supervisé par Jeremy Blaizot & Joakim Rosdahl

# Développement de code hydrodynamique 2D et application à la modélisation d'une supernova



# Intérêts

- Simulations numériques



Equations sans solution analytique  
Conditions extrêmes  
Tester/Valider des théories

- Supernovæ



Milieu Interstellaire (ISM)  
Taux de Formation Stellaire (SFR)

# Intérêts

- Simulation de supernova

→ solutions analytiques

Comparaison !


- Pédagogique

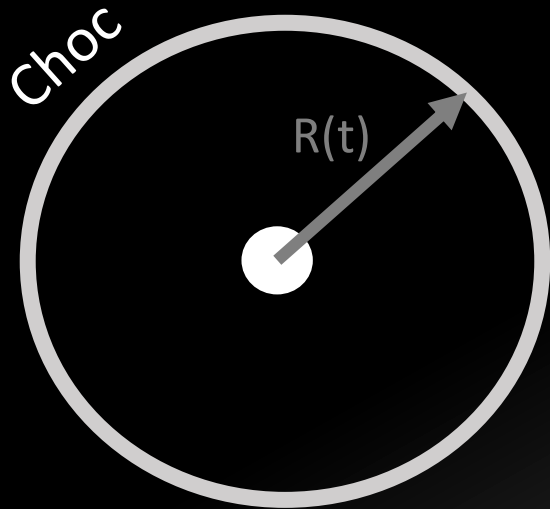
technique très utilisée


# La solution de Sedov-Taylor

## Hypothèses:

- \_ Adiabatique
- \_ Symétrie sphérique
- \_ Injection d'énergie


$$R(t) = \left( \frac{25E_{SN}}{4\pi\rho_0} \right)^{\frac{1}{5}} t^{\frac{2}{5}}$$




$$v(t) = \left( \frac{25E_{SN}}{4\pi\rho_0} \right)^{\frac{1}{5}} t^{-\frac{3}{5}}$$

# Equations

- Conservation de la masse:  $\frac{\partial \rho}{\partial t} + \vec{\nabla}(\rho \vec{u}) = 0$
- Conservation de l'impulsion :  $\frac{\partial(\rho \vec{u})}{\partial t} + \rho(\vec{u} \cdot \vec{\nabla})\vec{u} = -\vec{\nabla}(P) + \rho \vec{g}$
- Conservation de l'énergie:  $\frac{\partial(\rho E)}{\partial t} + \vec{\nabla}(\rho E \vec{u}) = -\vec{\nabla}(P \vec{u}) + \text{Cooling}$
- Equation d'état:  $P = (\gamma - 1)\rho E_{th} = (\gamma - 1)\rho(E - E_{kin})$

## Passage en 2D

$$\begin{array}{l}
 \text{2D} \rightarrow \\
 \vec{u} = (u, v)
 \end{array}
 \left\{ \begin{array}{l}
 \frac{\partial \rho}{\partial t} + \frac{\partial \rho u}{\partial x} + \frac{\partial \rho v}{\partial y} = 0 \\
 \frac{\partial \rho u}{\partial t} + \frac{\partial (\rho u^2 + P)}{\partial x} + \frac{\partial \rho v u}{\partial y} = 0 \\
 \frac{\partial \rho v}{\partial t} + \frac{\partial \rho u v}{\partial x} + \frac{\partial (\rho v^2 + P)}{\partial y} = 0 \\
 \frac{\partial \rho E}{\partial t} + \frac{\partial u(\rho E + P)}{\partial x} + \frac{\partial v(\rho E + P)}{\partial y} = 0
 \end{array} \right.$$



$$\frac{\partial U}{\partial t} + \frac{\partial F_x(U)}{\partial x} + \frac{\partial F_y(U)}{\partial y} = 0$$

# Passage en 2D

$$\frac{\partial U}{\partial t} + \frac{\partial F_x(U)}{\partial x} + \frac{\partial F_y(U)}{\partial y} = 0$$

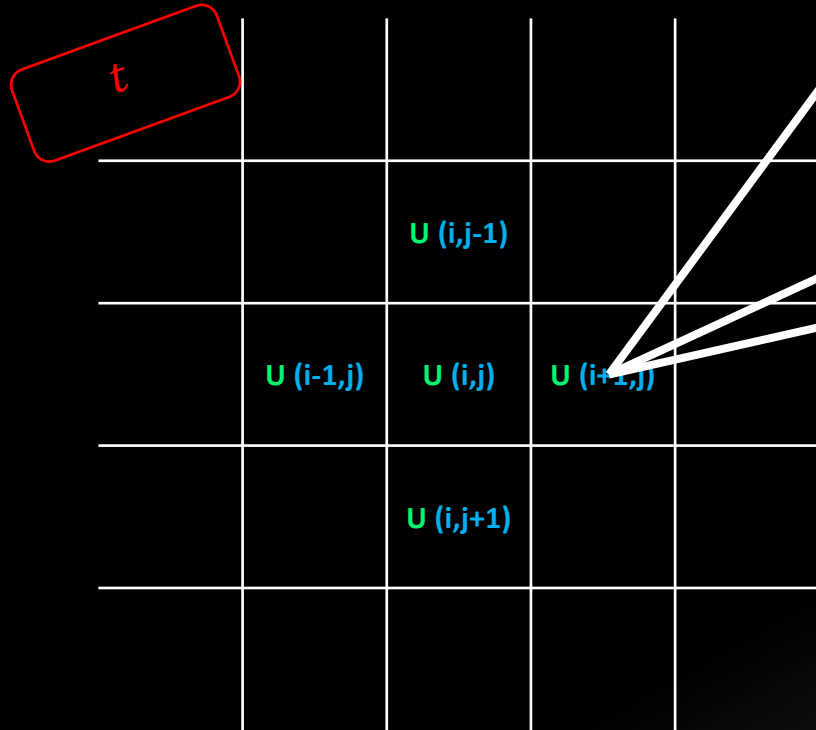
$$U = \begin{pmatrix} \rho \\ \rho u \\ \rho v \\ \rho E \end{pmatrix}$$

$$F_x(U) = \begin{pmatrix} \rho u \\ \rho u^2 + P \\ \rho uv \\ \rho E + P \end{pmatrix}$$

$$F_y(U) = \begin{pmatrix} \rho v \\ \rho vu \\ \rho v^2 + P \\ \rho E + P \end{pmatrix}$$

# Code en grille: Approche Eulérienne

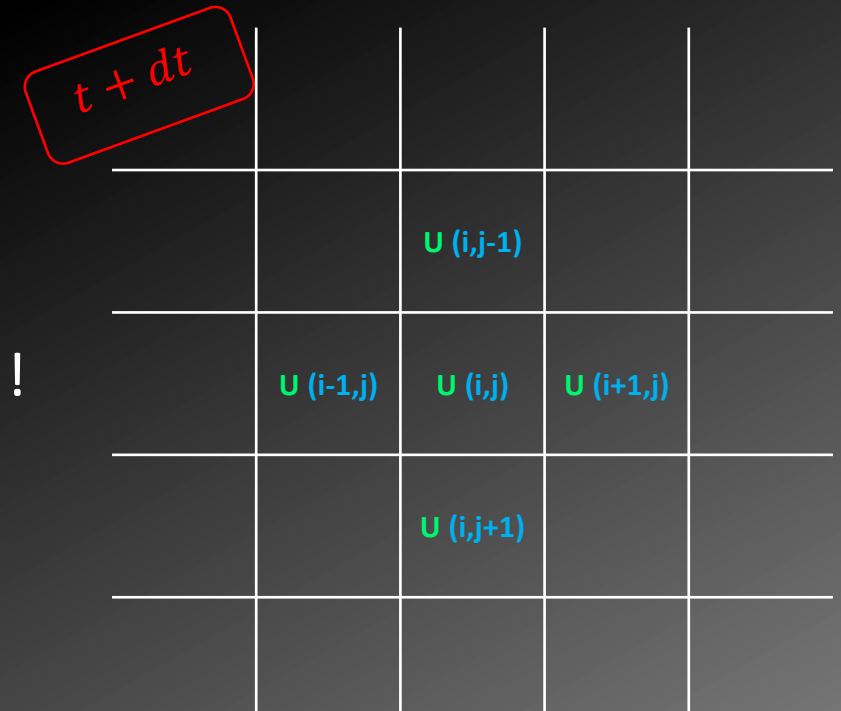
Discrétisation de l'espace...



$\rho(i+1,j)$   
 $E(i+1,j)$   
 $u(i+1,j)$   
 $v(i+1,j)$



Evolution de  
l'état  $U$   
des cellule



...et du temps !



# Méthode des volumes finis

$\iint_{cellule}$   
+  
Discrétisation spatiale

$$\frac{\partial U}{\partial t} + \frac{\partial F_x(U)}{\partial x} + \frac{\partial F_y(U)}{\partial y} = 0$$

Discrétisation  
temporelle

$$\frac{\partial U}{\partial t} = \frac{1}{\Delta x} \left( F_x(U)_{i+\frac{1}{2}} - F_x(U)_{i-\frac{1}{2}} + F_y(U)_{j+\frac{1}{2}} - F_y(U)_{j-\frac{1}{2}} \right)$$

$$U^{n+1} = U^n - \frac{\Delta t}{\Delta x} \left( F_x(U)_{i+\frac{1}{2}} - F_x(U)_{i-\frac{1}{2}} + F_y(U)_{j+\frac{1}{2}} - F_y(U)_{j-\frac{1}{2}} \right)$$

# Flux entre les cellules

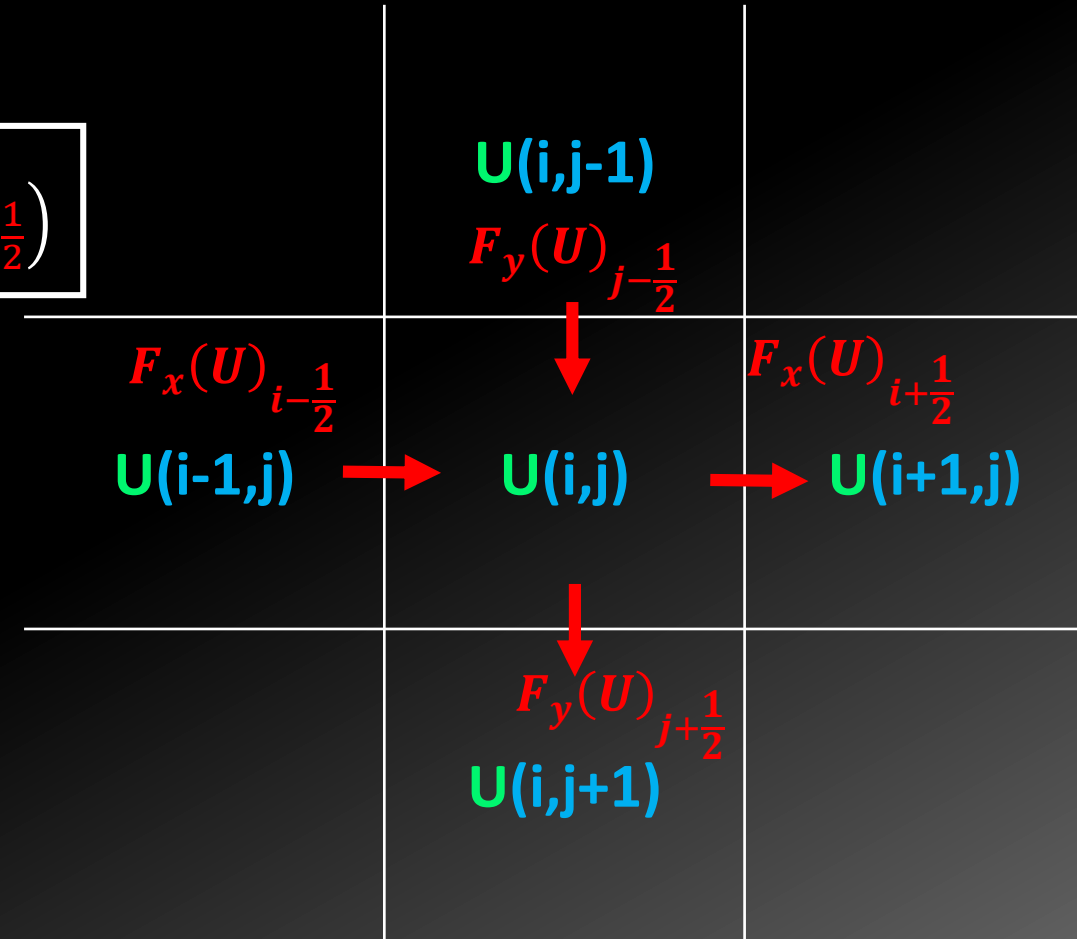
$$U^{n+1} = U^n - \frac{\Delta t}{\Delta x} \left( F_x(U)_{i+\frac{1}{2}} - F_x(U)_{i-\frac{1}{2}} + F_y(U)_{j+\frac{1}{2}} - F_y(U)_{j-\frac{1}{2}} \right)$$

?

- Méthode “naïve ”

$$F_x(U)_{i+\frac{1}{2}} = \frac{1}{2} (F_x(U)_i + F_x(U)_{i+1})$$

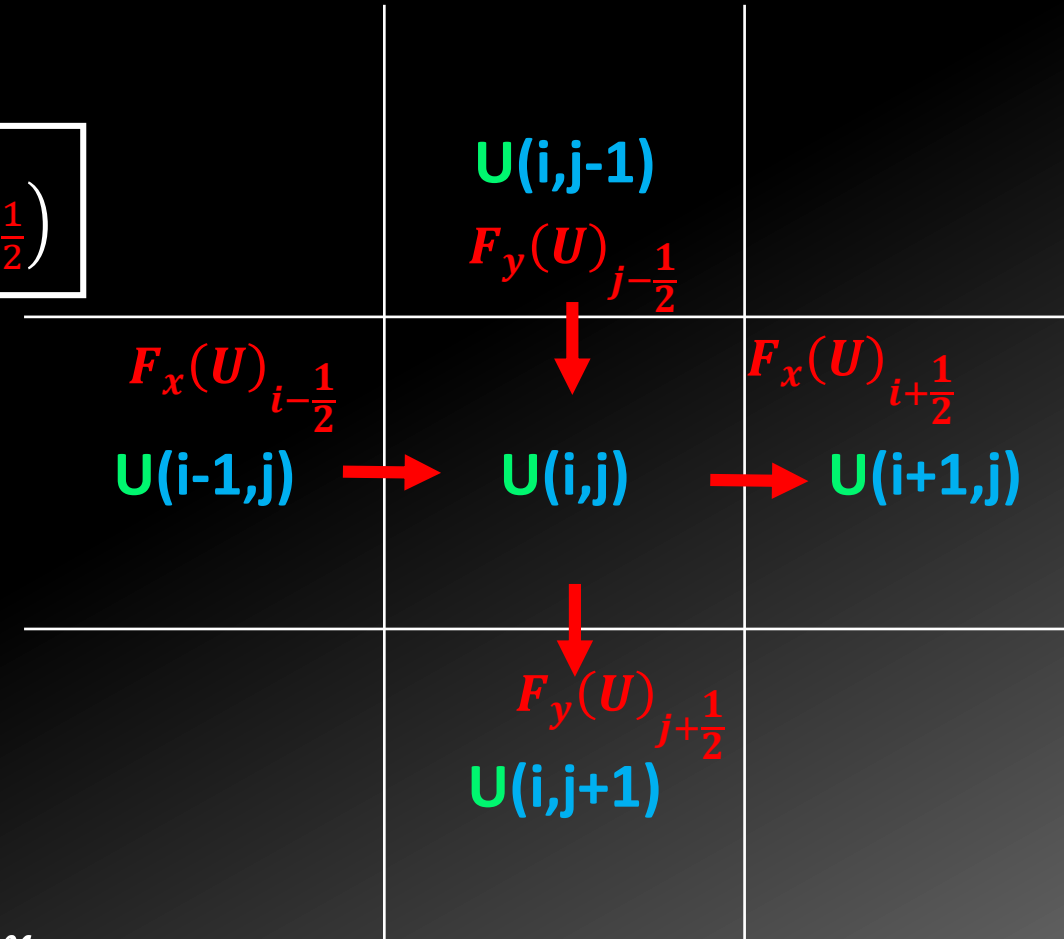
→ Instable !



# Flux entre les cellules

$$U^{n+1} = U^n - \frac{\Delta t}{\Delta x} \left( F_x(U)_{i+\frac{1}{2}} - F_x(U)_{i-\frac{1}{2}} + F_y(U)_{j+\frac{1}{2}} - F_y(U)_{j-\frac{1}{2}} \right)$$

?



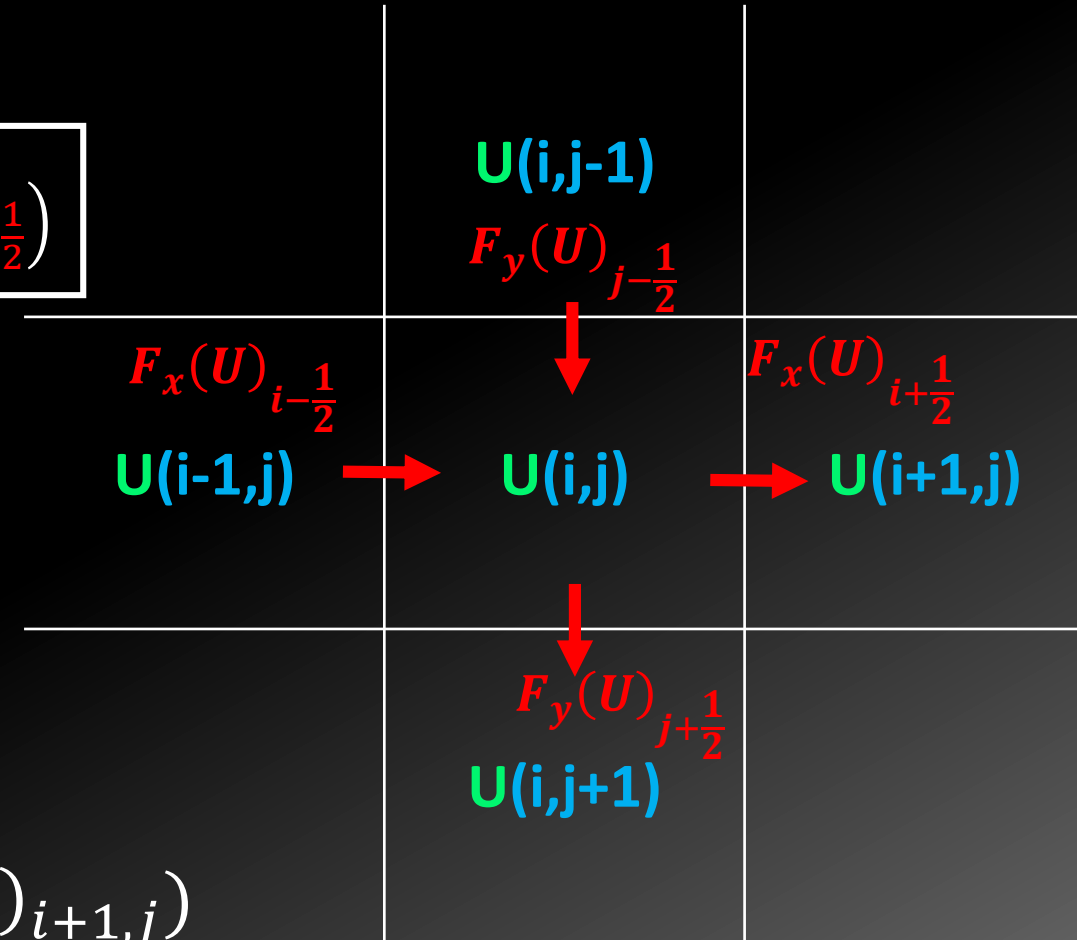
- Méthode de Lax-Friedrichs (1<sup>er</sup> ordre)

$$F_x(U)_{i+\frac{1}{2}} = \frac{1}{2} (F_x(U)_i + F_x(U)_{i+1}) - \frac{\Delta x}{2\Delta t} ((U)_i - (U)_{i+1})$$

# Flux entre les cellules

$$U^{n+1} = U^n - \frac{\Delta t}{\Delta x} \left( F_x(U)_{i+\frac{1}{2}} - F_x(U)_{i-\frac{1}{2}} + F_y(U)_{j+\frac{1}{2}} - F_y(U)_{j-\frac{1}{2}} \right)$$

?



- Méthode de Rusanov (Lax-Friedrichs locale)

$$C_{max} = \max((|u| + C_s)_{i,j} ; (|u| + C_s)_{i+1,j})$$

$$F_x(U)_{i+\frac{1}{2}} = \frac{1}{2} (F_x(U)_i + F_x(U)_{i+1}) - \frac{C_{max}}{2} ((U)_i - (U)_{i+1})$$

# Initialisations

## Paramètres physiques:

- Taille de la simulation:  $30 \times 30 \text{ pc}^2$
- Energie de la supernova:  $10^{30} \text{ erg. cm}^{-1}$
- Indice adiabatique:  $\gamma = \frac{5}{3}$

$$\begin{aligned}\mu &= 1 \\ T &= 10^2 K \\ k_B &= 10^{-16} \text{ erg.K}^{-1} \\ m_H &= 1,67 \times 10^{-24} \text{ g}\end{aligned}$$

## Initialisations:

- Densité initiale:  $1,67 \times 10^{-24} \text{ g.cm}^{-3}$
- Energie spécifique initiale:  $6 \times 10^9 \text{ erg.g}^{-1}$

$$1 \text{ atoms.cm}^{-3}$$

$$P = (\gamma - 1)\rho E_{th} = (\gamma - 1)\rho(E - E_{kin})$$

$$\rho E = \frac{P}{\gamma - 1} = \frac{\rho k_B T}{\mu m_H} \frac{1}{\gamma - 1} = \rho \times 6 \times 10^9 \text{ erg.cm}^{-3}$$

# Initialisations

- Taille de la simulation:

$$30 \times 30 \text{ pc}^2 \leftrightarrow 100 \times 100 \text{ pixels}^2$$

$$\Rightarrow \Delta x = 10^{18} \text{ cm}$$

- Pas de temps:

Courant condition

$$\rightarrow \Delta t = \min \left( \frac{\text{Courant factor}}{3} \frac{dx}{\max(C_{\max})} \right)$$

Initialisation:

$$_ \vec{u} = 0$$

$$_ \min(dt_{\text{local}}) = dt_{\text{SN}}$$

$$_ P = (\gamma - 1) \rho E_{\text{th}} = (\gamma - 1) \rho_i E_{\text{SN}}$$

Entrées physiques:

- Energie de la supernova:  $10^{30} \text{ erg.cm}^{-1}$

- Indice adiabatique:  $\gamma = \frac{5}{3}$

- Densité initiale:  $\rho = 1,67 \times 10^{-24} \text{ g.cm}^{-3}$

$$\Rightarrow \Delta t \sim 1,45 \times 10^8 \text{ s} \sim 4,6 \text{ yr}$$

# Le code (Fortran)

Paramètres d'initialisation

Initialisation des tableaux

Ajout de la supernova

Calcul de dt

Boucle sur le temps

    Boucle sur la grille

        Calcul des flux aux interfaces

    Fin

    Boucle sur la grille

        Update de l'état des cellules

    Fin

    Itération du temps

    Boucle sur la grille

        Calcul du dt minimal

    Fin

    Sauvegarde

Fin

Taille de la simulation:  $30 \times 10^{20} \text{ cm}^2$

Energy de la supernova:  $10^{30} \text{ erg.cm}^{-1}$

Indice adiabatique:  $\frac{5}{3}$

Densité initiale:  $1.67 \times 10^{-24} \text{ g.cm}^{-3}$

+ Condition de courant:  $dt < \frac{0,8}{3} \times \frac{dx}{v+C_s}$

+ Condition limite d'écoulement ("outflow")

# Aperçu

```
do while(t<tmax)
  if(istep==1000)EXIT
  do j = 0,ny
    do i = 0,nx
      flux(1,i,j,1) = (subflux1(i+1,j) + subflux1(i,j))/2 - maxspeed(i,j,1)*(state(i+1,j,1)-state(i,j,1))
      flux(2,i,j,1) = (subflux2(i,j+1) + subflux2(i,j))/2 - maxspeed(i,j,2)*(state(i,j+1,1)-state(i,j,1))

      flux(1,i,j,2) = (subflux3(i+1,j) + subflux3(i,j))/2 - maxspeed(i,j,1)*(state(i+1,j,2)-state(i,j,2))
      flux(2,i,j,2) = (subflux4_5(i,j+1) + subflux4_5(i,j))/2 - maxspeed(i,j,2)*(state(i,j+1,2)-state(i,j,2))

      flux(1,i,j,3) = (subflux4_5(i+1,j) + subflux4_5(i,j))/2 - maxspeed(i,j,1)*(state(i+1,j,3)-state(i,j,3))
      flux(2,i,j,3) = (subflux6(i,j+1) + subflux6(i,j))/2 - maxspeed(i,j,2)*(state(i,j+1,3)-state(i,j,3))

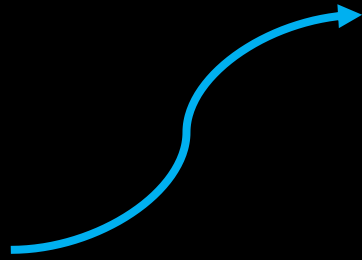
      flux(1,i,j,4) = (subflux7(i+1,j) + subflux7(i,j))/2 - maxspeed(i,j,1)*(state(i+1,j,4)-state(i,j,4))
      flux(2,i,j,4) = (subflux8(i,j+1) + subflux8(i,j))/2 - maxspeed(i,j,2)*(state(i,j+1,4)-state(i,j,4))
    end do
  end do
end do
```



# Aperçu

10 fonctions pour

- subflux
- pression
- maxspeed



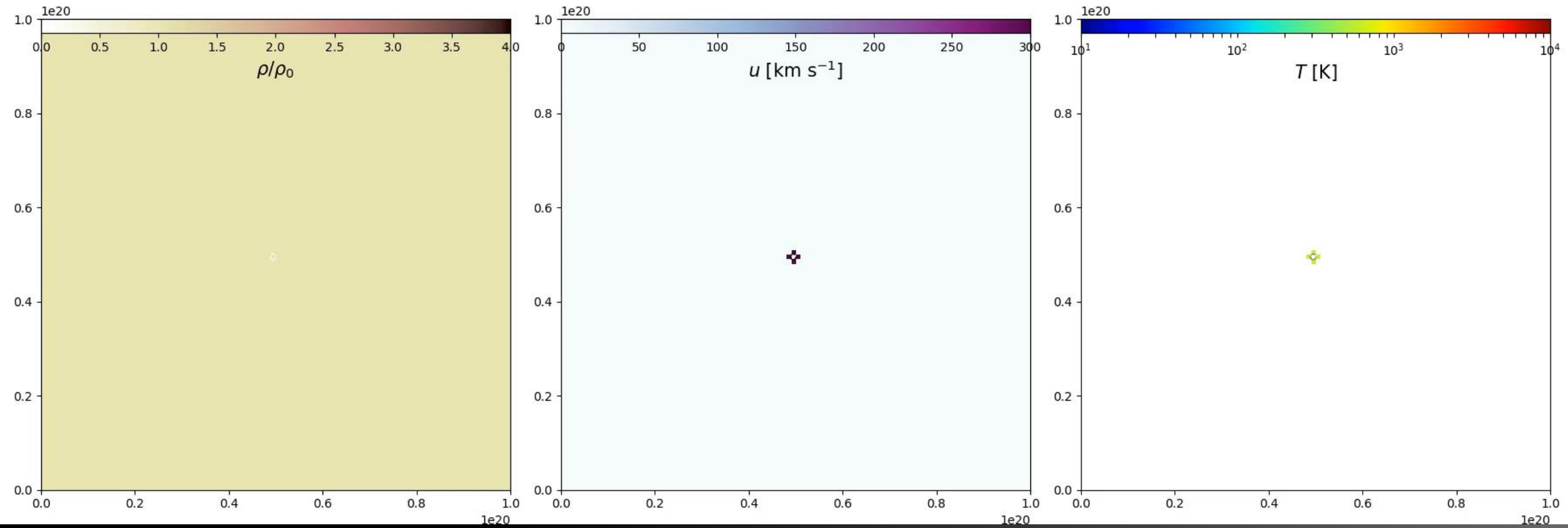
```
function pression(k,l)
  real(kind=8) :: pression
  integer(kind=4) :: k,l
  real(kind=8) :: rho,u,v,E
  rho=state(k,l,1)
  u=state(k,l,2)/rho
  v=state(k,l,3)/rho
  E=state(k,l,4)/rho
  pression = (E - 0.5d0*(u**2 + v**2))*(gamma-1)*rho
  return
end function
```

1 subroutine pour sauvegarder

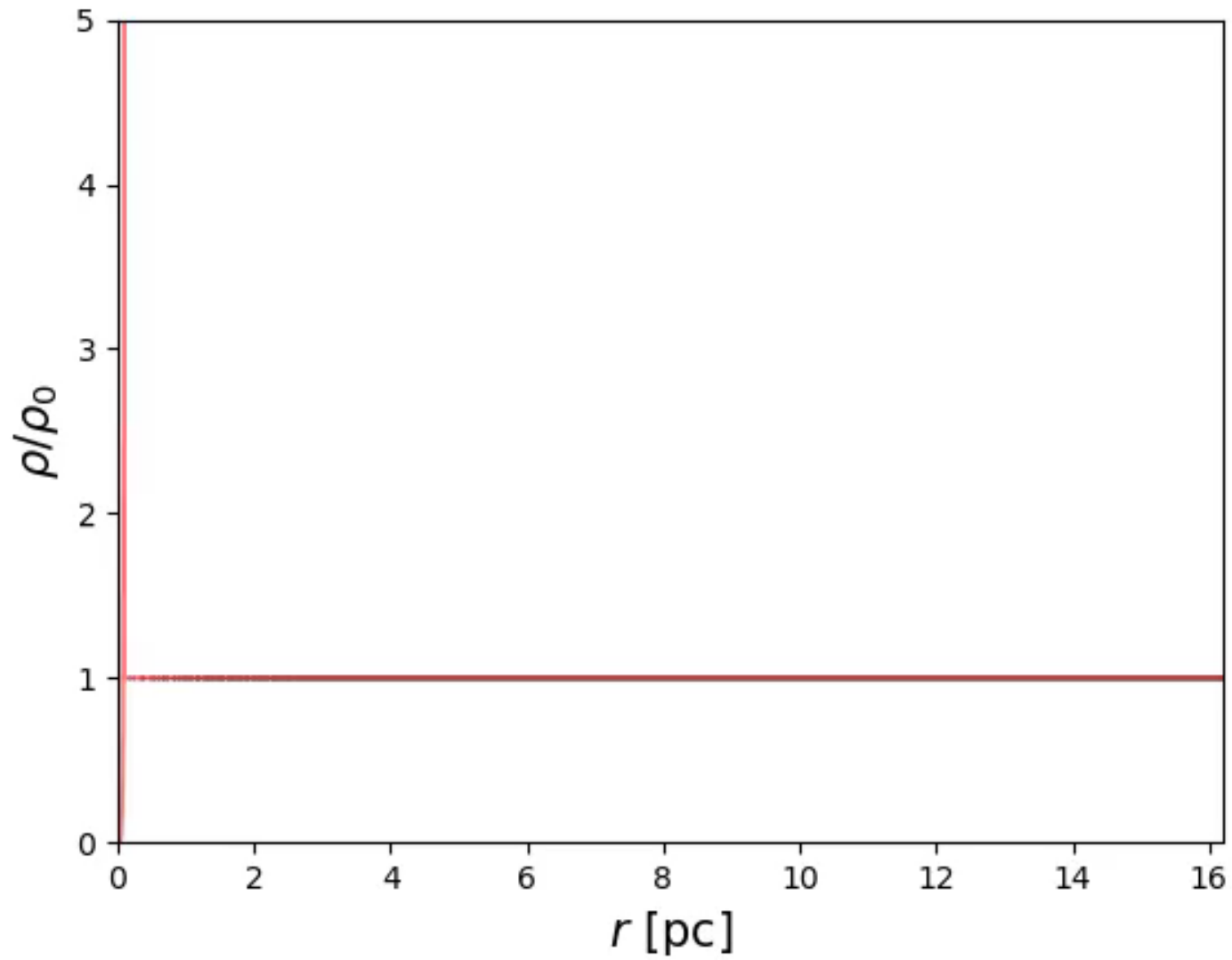
+ Codes pour

- créer des images
- faire une vidéo

# Méthode de Rusanov



# Comparaison avec la théorie



# Travail accompli

Premier code en Fortran 90  
Code débuggé (avec aide) → Fonctionne

Pseudo code  
Code structuré: fonctions  
Plusieurs méthodes numériques

Dérivation équations de volume fini

# Perspectives

Ajouter du refroidissement, de la gravité, 3D

Merci de votre attention !